

# РОЛЬ КВАЗИНЕСТИНГА И МАГНОННОЙ МОДЫ НА АНТИФЕРРОМАГНИТНОМ ВЕКТОРЕ ДЛЯ ОПТИЧЕСКОЙ ПРОВОДИМОСТИ ДВУМЕРНОГО ДОПИРОВАННОГО АНТИФЕРРОМАГНЕТИКА

*C. A. Гордюнин*

*Московский физико-технический институт  
141700, Долгопрудный, Московская обл., Россия*

*A. M. Белемук, A. E. Каракозов, A. Ф. Барабанов\**

*Институт физики высоких давлений им. Л. Ф. Верещагина Российской академии наук  
142190, Троицк, Московская обл., Россия*

Поступила в редакцию 19 июня 2001 г.

Проведен анализ оптического спектра нормального состояния двумерного допированного антиферромагнетика в модели решетки Кондо с учетом сложной структуры спинового полярона. Оптические свойства определяются резко анизотропным рассеянием спин-поляронных возбуждений на антиферромагнитных флюктуациях системы локализованных спинов. Показано, что релаксация носителей в инфракрасном диапазоне в основном обусловлена сильным взаимодействием с модой низкочастотных спиновых возбуждений с квазимпульсом близким к антиферромагнитному вектору  $\mathbf{Q} = (\pi, \pi)$ . Последнее связано с близостью участков ферми-поверхности нижней полярной зоны к границе антиферромагнитной зоны Бриллюэна. Вычисленные оптические характеристики качественно согласуются с экспериментальными данными для нормального состояния высокотемпературных сверхпроводников.

PACS: 75.50.Ee, 74.20.Mn, 71.38.+i, 75.30.Mb

## 1. ВВЕДЕНИЕ

В настоящее время продолжаются интенсивные исследования оптических свойств плоскости  $\text{CuO}_2$ , которая, как известно, является основным структурным элементом высокотемпературных сверхпроводников (ВТСП) (см., например, [1–7] и обзор [8]). Исследования в области инфракрасного излучения содержат ценную информацию о рассеянии носителей тока. В частности, теоретический анализ оптических данных ВТСП совместно с фотоэмиссионными данными о квазичастичных возбуждениях и нейтронными данными о бозонной подсистеме могут дать представление об относительной величине рассеяния носителей тока на фонах и на спиновых флюктуациях. Такой анализ проводится как на основе традиционной электрон-фононной картины вза-

модействия (в рамках формализма Элиашберга) [8], так и в рамках моделей сильно коррелированных электронов, основанных на различных модификациях модели Хаббарда (учет сильного взаимодействия электронной и спиновой подсистем) [9].

Экспериментальные данные [10] указывают на сильную анизотропию оптических свойств параллельно и перпендикулярно  $\text{CuO}_2$ -плоскостям, а также на их высокую чувствительность к плотности носителей в этих плоскостях. Ниже мы ограничиваемся рассмотрением оптических свойств нормального состояния только в *ab*-плоскости.

Эксперименты в области инфракрасного (ИК) излучения в *ab*-плоскости для различных купратов (например, на основе лантана,  $\text{La}_{2-x}\text{Sr}_x\text{CuO}_4$  [2], иттрия,  $\text{YBa}_2\text{Cu}_3\text{O}_{6+x}$  (YBCO) [1], висмута,  $\text{Bi}_2\text{Sr}_2\text{CaCu}_2\text{O}_8$  (Bi2212) [3, 5],  $\text{Bi}_2\text{Sr}_2\text{CuO}_6$  (Bi2201) [4–6] и некоторых других ВТСП [7]) демонстрируют вблизи оптимального донирования одни

---

\*E-mail: abarabanov@mtu-net.ru

и те же свойства: резкий пик на нулевой частоте и недрудевский хвост оптической проводимости  $\sigma(\omega)$  в области более высоких инфракрасных частот, причем спектральные веса этого пика и хвоста сильно зависят от додирования; линейную температурную зависимость электросопротивления  $\rho$ ; сильную частотную зависимость скорости релаксации и эффективной массы; почти линейную зависимость от частоты коэффициента отражения  $R(\omega)$ .

Для теоретического объяснения оптических свойств нормального состояния купратов предложен ряд моделей. Отметим модели, основанные на электрон-фононном взаимодействии [11, 12], на теории почти антиферромагнитной ферми-жидкости [13], на электрон-электронном рассеянии в нестинговой ферми-жидкости [14], а также исследования в рамках  $t$ - $J$ -модели с использованием как техники хаббардовских операторов [15], так и техники, представляющей фермionные операторы произведением холонов и спинонов [16]. Ряд подходов, включая вычислительные методы, приведен в обзоре [9].

Обычно оптическая проводимость  $\sigma(\omega)$  обсуждается на языке обобщенной формулы Друде:

$$\sigma(\omega) = \frac{\omega_{pl}^2}{4\pi} \frac{m}{m^*(\omega)} \frac{1}{1/\tau^*(\omega) - i\omega}. \quad (1)$$

где функции  $m^*(\omega)$  и  $1/\tau^*(\omega)$  трактуются соответственно как оптические (или транспортные) эффективная масса и скорость релаксации.

В традиционном подходе квадрат плазменной частоты  $\omega_{pl}^2$  связан с ферми-скоростью посредством соотношения ( $\hbar = 1$ )

$$\frac{\omega_{pl}^2}{4\pi} = 2e^2 \frac{1}{N} \sum_{\mathbf{k}} v_x^2(\mathbf{k}) \delta(\varepsilon_{\mathbf{k}}), \quad (2)$$

где  $v_x(\mathbf{k})$  — скорость, а  $\varepsilon_{\mathbf{k}}$  — энергия квазичастицы с квазимпульсом  $\mathbf{k}$ . В простейшем изотропном случае

$$\frac{\omega_{pl}^2}{4\pi} = \frac{e^2 n}{m}, \quad (3)$$

где  $n$  и  $m$  — плотность квазичастиц и их масса.

Теоретический анализ оптических данных ВТСП в рамках формализма Элиашбера показывает [8], что оптические свойства нормального состояния ВТСП-соединений обусловлены главным образом относительно сильным взаимодействием (константа связи  $\lambda \sim 2$ ) носителей тока с фононными возбуждениями с энергиями менее 500 К. Подходящий выбор  $\omega_{pl} \sim 2.5\text{--}3$  эВ позволяет

правильно описать ИК-поведение коэффициента отражения  $R(\omega)$  [11] и температурную зависимость сопротивления, причем результат слабо зависит от конкретного вида транспортной функции Элиашбера  $\alpha_{tr}^2(\omega)F(\omega)$ .

В то же время из данных по неупругому рассеянию спин-поляризованных нейтронов известно, что спиновые возбуждения в нормальном состоянии ВТСП имеют резонансную структуру при энергиях 300 К, т. е. энергиях, сравнимых с упомянутыми фононными. Спиновые возбуждения, ответственные за этот резонанс, определяются квазимпульсами магнонов, близкими к антиферромагнитному вектору  $\mathbf{Q} = (\pi, \pi)$  [17]. Реально константа взаимодействия  $\lambda$  этих возбуждений с носителями неизвестна. В ряде работ [18, 19] ее используют как подгоночный параметр для описания экспериментальной ситуации, предполагая, что это взаимодействие имеет  $d$ -характер. Взаимодействие со спиновой подсистемой вводят и чисто феноменологически [13], используя различные модельные виды спиновой восприимчивости  $\chi(\mathbf{q} + \mathbf{Q}, \omega)$  вблизи антиферромагнитного вектора  $\mathbf{Q}$ , например

$$\chi(\mathbf{q} + \mathbf{Q}, \omega) = \frac{\chi_Q(T)}{1 + \xi^2 q^2} \frac{1}{1 - i \operatorname{th}(\omega/\omega_{SF})},$$

$$\omega_{SF}(q) = \frac{\Gamma}{\pi\sqrt{\beta}} \left( \frac{a}{\xi} \right)^2 (1 + \xi^2 q^2),$$

где  $\chi_Q(T)$  — статическая спиновая восприимчивость на векторе  $\mathbf{Q}$ ,  $\xi$  — антиферромагнитная корреляционная длина,  $\Gamma$  — энергетический параметр спиновой подсистемы,  $\beta$  — подгоночный параметр,  $a$  — постоянная решетки.

Отметим, что в большинстве упомянутых теоретических подходов не учитывается реальный спектр носителей, который дается фотоэмиссионными экспериментами с угловым разрешением (ARPES), например, используются модели с шириной зоны  $W$  носителей, которая значительно превышает экспериментальную ширину зоны.

В настоящей работе оптическая проводимость исследуется в рамках модели кондо-решетки. Кроме энергетических параметров гамильтонiana не используются никакие подгоночные параметры. Задача решается в рамках теории спинового полярона [20], которая воспроизводит все основные черты нижней дырочной зоны элементарных возбуждений, наблюдающиеся в последних ARPES-экспериментах [21–23]: большая ферми-поверхность при сравнительно малом числе носителей; малая ширина ( $\sim 0.5$  эВ); наличие частей ферми-поверхности,

расположенных вблизи границы антиферромагнитной зоны Бриллюэна (квазинестинг) и малое расстояние от уровня Ферми до дна зоны ( $\sim 0.05$  эВ).

Антиферромагнитная подсистема локализованных спинов рассматривается в сферически-симметричном приближении с учетом спиновой фruстриации. Такой подход предсказывает существование низколежащих ( $\sim 500$  К) спиновых возбуждений с импульсами близкими к антиферромагнитному вектору  $\mathbf{Q}$ . Этот факт наряду с квазинестинговым характером нижней зоны представляет особый интерес.

Вычисления оптической проводимости выполняются с использованием формализма функций памяти [15, 24]. Проводимость  $\sigma(\omega)$  в формализме функций памяти имеет вид обобщенной формулы Друде:

$$\sigma(\omega) = \frac{1}{V} \frac{i\chi_0}{\omega + M(\omega)}. \quad (4)$$

Комплексная функция памяти  $M(\omega) = M'(\omega) + i\Gamma(\omega)$  определяет  $m^*(\omega)$  и  $1/\tau^*(\omega)$  в (1). Величина  $\tilde{\omega}_{pl}^2 = 4\pi\chi_0 V^{-1}$  является аналогом  $\omega_{pl}^2$  в (1). Основное внимание будет сосредоточено на исследовании  $\Gamma(\omega)$  и  $\chi_0$ . Будет показано, что вычисленная  $\tilde{\omega}_{pl}$  имеет величину близкую к значениям для медно-оксидных систем,  $\omega_{pl} \sim 1$  эВ [25], и не является аномально малой, несмотря на сильное поляронное сужение зоны и малую плотность носителей  $n$  (как это следует ожидать из (2), (3)).

Мы показываем, что поведение функции  $\Gamma(\omega)$  действительно определяется спиновыми возбуждениями с импульсами близкими к  $\mathbf{Q}$  и энергиями  $\sim 500$  К. Вычисленные значения электросопротивления отвечают экспериментальным данным.

## 2. МОДЕЛЬ И СПИН-ПОЛЯРОННОЕ ОПИСАНИЕ СПЕКТРА НОСИТЕЛЕЙ

Относительно спектра дырки в нормальном состоянии купратов хорошо известно, что режиму промежуточного допирования отвечает ферми-поверхность в виде четырех дырочных карманов вблизи точек  $N = (\pm\pi/2, \pm\pi/2)$ . В оптимально допированных соединениях наблюдается большая ферми-поверхность с центром в точке  $M = (\pm\pi, \pm\pi)$ , причем ее форма близка к ферми-поверхности, рассчитанной по методу жесткой зоны с заполнением  $1 + n_h$ . Наблюдаемая квазичастичная зона очень узкая (ширина зоны  $\sim 0.5$  эВ). Эти факты (и ряд других) невозможно объяснить на основе обычной одноэлектронной зонной картины.

Существенные детали дырочного спектра в купратах хорошо описываются в рамках фрустрированной эффективной трехзонной модели в спин-поляронном приближении [26]. Эта модель довольно сложна, но ее основные особенности воспроизводятся обобщенной моделью кондо-решетки, если выбрать параметр внутриузельного обмена  $J$  в качестве наибольшего энергетического параметра [27–29].

Гамильтониан квадратной решетки Кондо имеет вид

$$\hat{H} = \hat{T} + \hat{J} + \hat{I}, \quad (5)$$

$$\begin{aligned} \hat{T} = & \sum_{\mathbf{r}, \mathbf{g}, \sigma} t_g a_{\mathbf{r}+\mathbf{g}, \sigma}^\dagger a_{\mathbf{r}, \sigma} + \sum_{\mathbf{r}, \mathbf{d}, \sigma} t_d a_{\mathbf{r}+\mathbf{d}, \sigma}^\dagger a_{\mathbf{r}, \sigma} + \\ & + \sum_{\mathbf{r}, 2\mathbf{g}, \sigma} t_{2g} a_{\mathbf{r}+2\mathbf{g}, \sigma}^\dagger a_{\mathbf{r}, \sigma}, \\ \hat{J} = & J \sum_{\mathbf{r}, \sigma_1, \sigma_2} a_{\mathbf{r}, \sigma_1}^\dagger S_{\mathbf{r}}^\alpha \hat{\sigma}_{\sigma_1 \sigma_2}^\alpha a_{\mathbf{r}, \sigma_2}, \\ \hat{I} = & \frac{1}{2} I_1 \sum_{\mathbf{r}, \mathbf{g}} S_{\mathbf{r}+\mathbf{g}}^\alpha S_{\mathbf{r}}^\alpha + \frac{1}{2} I_2 \sum_{\mathbf{r}, \mathbf{d}} S_{\mathbf{r}+\mathbf{d}}^\alpha S_{\mathbf{r}}^\alpha. \end{aligned}$$

Здесь  $\mathbf{g} = \pm\mathbf{g}_x \pm \mathbf{g}_y$  — векторы ближайших соседей,  $\mathbf{d}$  и  $2\mathbf{g}$  — векторы вторых и третьих ближайших соседей;  $\hat{\sigma}^\alpha$  — матрицы Паули (по дважды повторяющимся декартовым индексам  $\alpha$  подразумевается суммирование). Ферми-оператор  $a_{\mathbf{r}\sigma}^\dagger$  рождает дырку со спином  $S = 1/2$  на узле  $\mathbf{r}$  и с проекцией спина  $\sigma/2$ .

Гамильтониан  $\hat{T}$  описывает прыжки дырки между первыми, вторыми и третьими ближайшими соседями с амплитудами  $t_g$ ,  $t_d$  и  $t_{2g}$ . Внутриузельное кондо-взаимодействие описывается гамильтонианом  $\hat{J}$ . Обменный гамильтониан  $\hat{I}$  соответствует фрустрированному антиферромагнитному взаимодействию между локализованными спинами,  $p$  ( $0 \leq p \leq 1$ ) — параметр фрустриации,  $I_1 = (1 - p)I$  и  $I_2 = pI$  — константы обменного взаимодействия для первых и вторых ближайших соседей.

В импульсном представлении гамильтониан  $\hat{T}$  имеет вид

$$\begin{aligned} \hat{T} = & \sum_{\mathbf{k}, \sigma} \varepsilon_{\mathbf{k}} a_{\mathbf{k}, \sigma}^\dagger a_{\mathbf{k}, \sigma}, \\ \varepsilon_{\mathbf{k}} = & \sum_{\mathbf{r}=\mathbf{g}, 2\mathbf{g}, \mathbf{d}} t_{\mathbf{r}} e^{-i\mathbf{k}\mathbf{r}} = 4t_g \gamma_g(\mathbf{k}) + \\ & + 4t_{2g} \gamma_{2g}(\mathbf{k}) + 4t_d \gamma_d(\mathbf{k}), \quad (6) \end{aligned}$$

$$\gamma_g(\mathbf{k}) = \frac{1}{2} (\cos k_x g + \cos k_y g),$$

$$\begin{aligned}\gamma_{2g}(\mathbf{k}) &= \frac{1}{2}(\cos 2k_x g + \cos 2k_y g), \\ \gamma_d(\mathbf{k}) &= \cos(k_x g) \cos(k_y g).\end{aligned}$$

Гамильтониан  $\hat{J}$  ответствен за сильное взаимодействие голой дырки с локальной спиновой подсистемой. Это означает, что элементарные возбуждения являются спиновым поляроном — суперпозицией оператора голой дырки  $a_{\mathbf{k},\sigma}$  и операторов, описывающих одевание  $a_{\mathbf{k},\sigma}$  в операторы спиновой подсистемы. Задача решается в рамках стандартного проекционного метода Мори–Цванцига с использованием двухвременных запаздывающих функций Грина. Как известно, метод Мори–Цванцига подразумевает выбор конечного набора базисных операторов, который в нашем случае должен с самого начала учитывать спаривание голой дырки с локализованными спинами.

Известно [30, 31], что минимальным «хорошим» узельным набором служит следующий набор базисных операторов:

$$\varphi_{\mathbf{r}\sigma}^{(1)} = a_{\mathbf{r},\sigma}, \quad \varphi_{\mathbf{r}\sigma}^{(2)} = S_{\mathbf{r}}^{\alpha} \hat{\sigma}_{\sigma\sigma_1}^{\alpha} a_{\mathbf{r},\sigma_1}, \quad (7)$$

$$\begin{aligned}\varphi_{\mathbf{r}\sigma}^{(3)} &= \frac{1}{N} \sum_{\rho, \mathbf{q} \in \Omega} e^{i\mathbf{q}\rho} S_{\mathbf{r}+\rho}^{\alpha} \hat{\sigma}_{\sigma\sigma_1}^{\alpha} a_{\mathbf{r},\sigma_1}, \\ \varphi_{\mathbf{r}\sigma}^{(4)} &= \frac{1}{N} \sum_{\rho, q \in \Omega} e^{i\mathbf{q}\rho} S_{\mathbf{r}+\rho}^{\alpha} \hat{\sigma}_{\sigma\sigma_1}^{\alpha} S_{\mathbf{r}}^{\beta} \hat{\sigma}_{\sigma_1\sigma_2}^{\beta} a_{\mathbf{r},\sigma_2},\end{aligned} \quad (8)$$

$$\Omega = \{\mathbf{q} : |\pm(\pi/g) - q_{x,y}| < L\}.$$

Первые два оператора  $\varphi_{\mathbf{r}\sigma}^{(1)}$ ,  $\varphi_{\mathbf{r}\sigma}^{(2)}$  можно трактовать как локальные спин-полярные операторы, следующие два оператора  $\varphi_{\mathbf{r}\sigma}^{(3)}$ ,  $\varphi_{\mathbf{r}\sigma}^{(4)}$  отвечают спиновому полaronу промежуточного радиуса и описывают спаривания локальных полaronных операторов  $\varphi_{\mathbf{r}\sigma}^{(1)}$ ,  $\varphi_{\mathbf{r}\sigma}^{(2)}$  со спин-волновыми операторами

$$S_{\mathbf{q}}^{\alpha} = \frac{1}{\sqrt{N}} \sum_{\rho} e^{i\mathbf{q}(\mathbf{r}+\rho)} S_{\mathbf{r}+\rho}^{\alpha}.$$

Особенностью операторов (8) является то, что они отражают спаривание спиновых волн с импульсами  $\mathbf{q}$  близкими к антиферромагнитному вектору  $\mathbf{Q} = (\pi, \pi)$ :  $\mathbf{q}$  заполняют область  $\Omega$ , состоящую из четырех квадратов  $L \times L$  в углах первой зоны Бриллюэна (ниже мы положили  $\Omega = L \times L = 0.25(\pi/g)^2$ ). Спаривание с такими  $S_{\mathbf{q}}^{\alpha}$  учитывает резкий пик спин-спинового структурного фактора в области близкой к вектору  $\mathbf{Q}$  и ведет к расщеплению нижней квазичастичной зоны, возникающей в приближении локального полaronа [30, 31]. Кроме того, учет конечной области  $\Omega$  необходим для описания правильного предельного перехода  $T \rightarrow 0$  [30].

Стандартная проекционная процедура решения уравнений для функций Грина в импульсном представлении для операторов (7), (8) дает четыре зоны спинового полaronа  $E_{\mathbf{k}}^{(i)}$ , явное выражение для функции Грина голой дырки  $G_h(\mathbf{k}, \omega)$  и число голых дырок  $n_h$  (см. Приложение А):

$$\begin{aligned}G_h(\mathbf{k}, \omega) &= \langle \langle a_{\mathbf{k},\sigma} | a_{\mathbf{k},\sigma}^{\dagger} \rangle \rangle_{\omega} = \sum_{l=1}^4 \frac{Z_{\mathbf{k}}^{(l)}}{\omega - E_{\mathbf{k}}^{(l)}}, \\ n_h &= \sum_{\mathbf{k},\sigma} \sum_{l=1}^4 Z_{\mathbf{k}}^{(l)} n_F(E_{\mathbf{k}}^{(l)}),\end{aligned} \quad (9)$$

где  $n_F(E_{\mathbf{k}}) = (e^{(E_{\mathbf{k}}-\mu)/T} + 1)^{-1}$ ,  $\mu$  — химический потенциал.

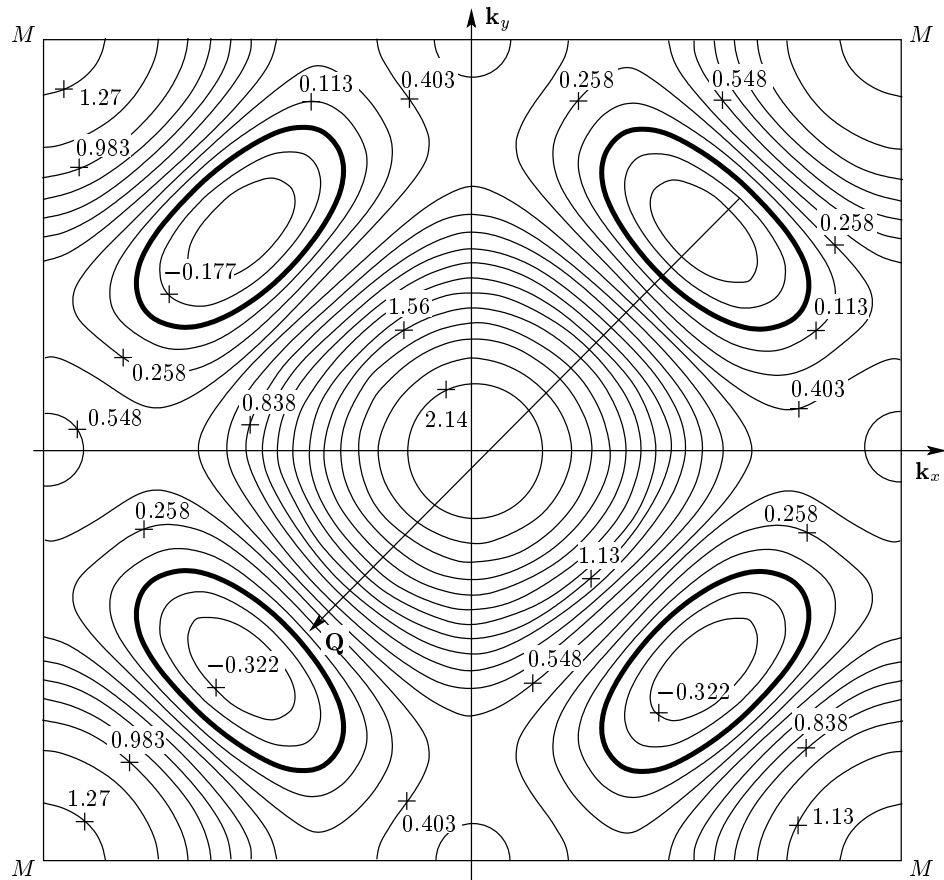
Сравнение настоящего метода сложного спинового полaronа [30] с вычислениями в рамках самосогласованного борновского приближения (SCBA) (при  $T = 0$ ) [32] ясно показывает, что нижняя зона  $E_{\mathbf{k}}^{(1)}$  и вычеты  $Z_{\mathbf{k}}^{(1)}$  дают хорошее описание квазичастичного SCBA-пика и его интенсивность. Верхние три зоны  $E_{\mathbf{k}}^{(2,3,4)}$  эффективно описывают некогерентную часть  $A_{incoh}(\mathbf{k}, \omega)$  у полной дырочной спектральной SCBA-функции

$$A_{SCBA}(\mathbf{k}, \omega) = Z_{\mathbf{k}}^{(1)} \delta(\omega - E_{\mathbf{k}}^{(1)}) + A_{incoh}(\mathbf{k}, \omega).$$

В вычислениях выбран следующий набор параметров:  $p = 0.15$ ,  $T = 0.1I = 0.04\tau$ ,  $I = 0.4\tau$ ,  $J = 1.5\tau$ ,  $t_g = 0.3\tau$ ,  $t_d = 0.25\tau$ ,  $t_{2g} = 0.2\tau$ . Все энергетические параметры задаются в единицах  $\tau$ . Значение  $\tau$  выбиралось равным 0.4 эВ. Такой выбор  $\tau$  отвечает ширине зоны  $W = 0.7\tau \approx 0.3$  эВ, что согласуется с данными ARPES-экспериментов. Кроме того, такой выбор  $\tau$  дает разумное значение обменного взаимодействия между ионами меди  $I \sim 2000$  К. Матричные элементы, возникающие в проекционном методе, зависят от спин-спиновых корреляционных функций и приведены в Приложении А.

На рис. 1 представлены нижняя полaronная зона с помощью линий равной энергии и поверхность Ферми при допировании  $n_h = 0.15$ . Видно, что трансляция частей поверхности Ферми на вектор  $\mathbf{Q}$  приближенно приводит к наложению участков, расположенных в разных квадрантах, т. е. к квазинестингу.

На рис. 2 представлена эволюция поверхности Ферми при увеличении допирования. Можно видеть, что в интересной для сверхпроводимости области допирования вплоть до  $n_h = 0.3$  условия для квазинестинга сохраняются. Характерные значения



**Рис. 1.** Спектр нижней поляронной зоны при  $T = 0.04\tau \approx 200$  K,  $p = 0.15$ ,  $I = 0.4\tau$ ,  $J = 1.5\tau$ ,  $t_g = 0.3\tau$ ,  $t_d = 0.25\tau$ ,  $t_{2g} = 0.2\tau$ ,  $\tau = 0.4$  эВ представлен в виде эквиэнергетических линий  $E_{\mathbf{k}}^{(1)} - \mu = \text{const}$ , толстая сплошная линия  $E_{\mathbf{k}}^{(1)} - \mu = 0$  соответствует ферми-поверхности при допировании  $n_h = 0.15$ . Энергии даны в единицах 0.1 эВ. Стрелкой показан антиферромагнитный вектор  $\mathbf{Q} = (\pi, \pi)$

для вычетов в областях под поверхностью Ферми составляют  $Z_{\mathbf{k}}^{(1)} \approx 0.3$ . В соответствии с данными ARPES-экспериментов вплоть до оптимального допирования  $n_h \sim 0.3$  участки поверхности Ферми расположены в непосредственной близости к антиферромагнитной зоне Бриллюэна.

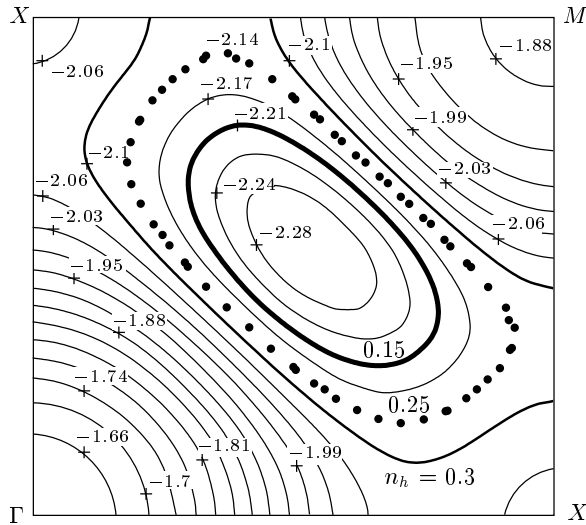
### 3. ОСОБЕННОСТИ СПИНОВОЙ ПОДСИСТЕМЫ

Известно, что даже в случае сравнительно слабого допирования плоскости  $\text{CuO}_2$  антиферромагнитный дальний порядок пропадает во всем диапазоне температур. Обычно предполагают, что допирование ведет к антиферромагнитному взаимодействию между вторыми ближайшими соседями в  $\text{Cu}^{2+}$ -подсистеме, т. е. к фruстрации [33]. Кластерные расчеты указывают на достаточно большое зна-

чение параметра фрустрации  $J_2/J_1 \sim 0.1$  даже для недопированного  $\text{La}_2\text{CuO}_4$  [34]. С увеличением допирования спин-спиновая корреляционная длина убывает, к такому же поведению приводит увеличение фрустрации.

Параметр фрустрации  $p$  можно считать аналогом числа дырок  $x$  на атом меди. Оценка, основанная на однозонной модели Хаббарда, при  $U/t \sim 5$  дает значение  $p \sim 0.1$  для  $x = 0.1$ . Отметим, что для  $\text{La}_{2-x}\text{Sr}_x\text{CuO}_4$  спиновая подсистема плоскости  $\text{CuO}_2$  теряет дальний порядок при  $x > 0.02$ .

Поэтому существенной является принятая нами трактовка фрустрированной спиновой подсистемы в рамках сферически-симметричной теории [35]. В частности, это подразумевает, что средний спин на узле равен  $\langle S_{\mathbf{r}}^{\alpha} \rangle = 0$ , но отличны от нуля и не зависят от декартового индекса  $\alpha$  антиферромагнитные спин-спиновые корреляторы  $\langle S_0^{\alpha} S_{\mathbf{r}}^{\alpha} \rangle$  ( $\alpha$  фикси-



**Рис. 2.** Спектр нижней поляронной зоны в первом квадранте зоны Бриллюэна с выделенными ферми-поверхностями, отвечающими  $n_h = 0.15, 0.25, 0.3$ . Энергии  $E_k^{(1)}$  даны в единицах  $\tau$  (параметры те же, что и на рис. 1)

ровано). Спин-волновые возбуждения описываются функцией Грина

$$G(\mathbf{q}, \omega) = \langle \langle S_{-\mathbf{q}}^\alpha | S_\mathbf{q}^\alpha \rangle \rangle_\omega = \frac{F_\mathbf{q}}{\omega^2 - \omega_\mathbf{q}^2}, \quad (10)$$

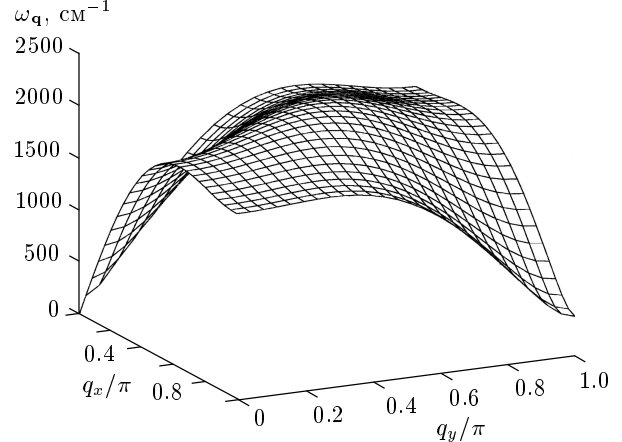
$$F_\mathbf{q} = -8(I_1(1 - \gamma_g(\mathbf{q}))C_g + I_2(1 - \gamma_d(\mathbf{q}))C_d),$$

$$\begin{aligned} \omega_\mathbf{q} = \frac{8}{3}I\{(1 - \gamma_g)(A_1 + (1 + \gamma_g)A_2) + \\ + (1 - \gamma_d)(A_3 + (1 + \gamma_d)A_4) + \gamma_g(1 - \gamma_d)A_5\}^{1/2}. \end{aligned} \quad (11)$$

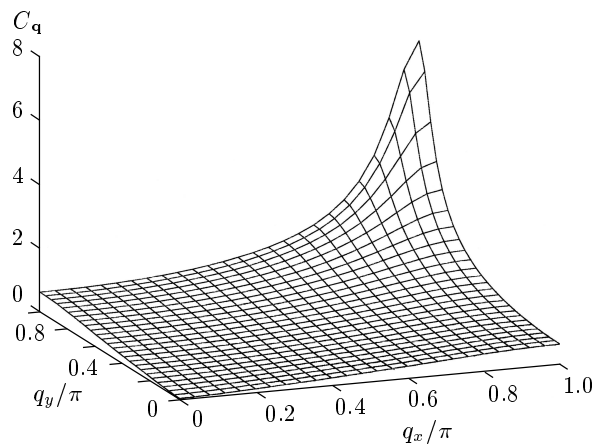
Параметры  $A_1, A_2, A_3, A_4, A_5$  вычисляются самосогласованным образом через параметр фruстрации  $p$  и спин-спиновые корреляционные функции  $C_\mathbf{r} = \langle \mathbf{S}_{\mathbf{r}_0} \mathbf{S}_{\mathbf{r}_0 + \mathbf{r}} \rangle$ .

Отметим, что  $G(\mathbf{q}, \omega)$  в (10) сильно отличается от соответствующей функции Грина в рамках двухподрешеточного приближения: числитель  $F_\mathbf{q}$  и спектр  $\omega_\mathbf{q}$  стремятся к нулю при  $\mathbf{q} \rightarrow 0$  аналогично обычной фононной картине при  $\mathbf{q} \rightarrow 0$ ; однако в пределе  $\mathbf{q} \rightarrow \mathbf{Q}$  числитель  $F_\mathbf{q}$  стремится к конечной величине, а при конечных температурах и фruстрациях  $\omega_\mathbf{q}$  имеет щель  $\Delta = \omega_\mathbf{Q}$ . Таким образом, спиновые возбуждения (10) обладают периодичностью только относительно полной (а не антиферромагнитной) зоны Бриллюэна и точки  $(0, 0)$  и  $\mathbf{Q}$  не эквивалентны.

Как отмечалось, мы выбираем реалистичное значение параметра фruстрации  $p = 0.15$ . На рис. 3 приведен спектр  $\omega_\mathbf{q}$  при  $T \approx 200$  К ( $T = 0.1I, I = 0.4\tau$ ).



**Рис. 3.** Спектр спиновых возбуждений  $\omega_\mathbf{q}$



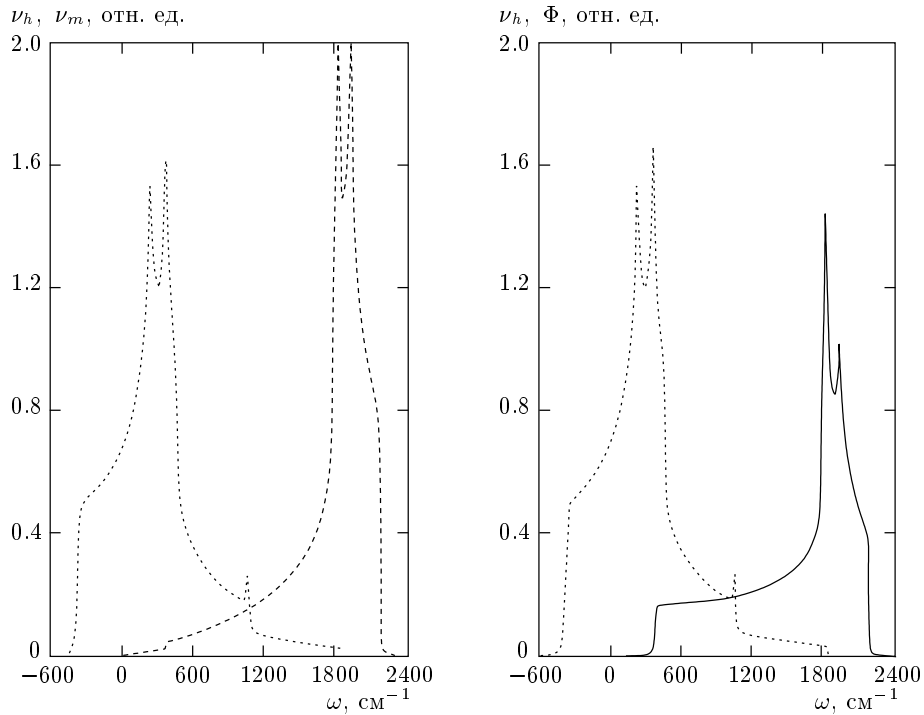
**Рис. 4.** Спин-спиновый структурный фактор  $C_\mathbf{q}$

Щель  $\Delta$  оказывается равной  $\sim 500$  К. Эти возбуждения лежат в той области бозонных энергий, которая обсуждалась во Введении.

На рис. 4 приведена спин-спиновая корреляционная функция  $C_\mathbf{q}$ , которая фигурирует в выражении для оптической проводимости

$$\begin{aligned} C_\mathbf{q} = \langle \mathbf{S}_{-\mathbf{q}} \mathbf{S}_\mathbf{q} \rangle = \frac{F_\mathbf{q}}{2\omega_\mathbf{q}}(1 + 2n_B(\omega_\mathbf{q})), \\ n_B(\omega) = (e^{\omega/T} - 1)^{-1}. \end{aligned} \quad (12)$$

Как видно,  $C_\mathbf{q}$  имеет резкий пик при  $\mathbf{q} = \mathbf{Q}$ , а  $\omega_\mathbf{q}$  достигает локального минимума. Это есть прямое следствие того, что при  $T = 0$  и малой фruстрации мода с  $\mathbf{q} = \mathbf{Q}$  является макроскопической [35]. Будет показано, что с учетом квазинестинга сильное рассеяние носителей происходит именно на моде с  $\mathbf{q}$  близкими к  $\mathbf{Q}$ . При вычислении оптического затухания  $\Gamma(\omega)$  комбинация  $J^2 F_\mathbf{q} \omega_\mathbf{q}^{-1}$  является эффектив-



**Рис. 5.** Плотность состояний голой дырки  $\nu_h(\omega - \mu)$  (пунктир), спиновых возбуждений  $\nu_m(\omega - \mu)$  (штриховая кривая) и функция  $\Phi(\omega)$  (сплошная кривая) (аналог функции Элиашберга (см. [13]) указаны в относительных единицах. Параметры те же, что и на рис. 1,  $\omega = 0$  соответствует химическому потенциалу для  $n_h = 0.15$

ным взаимодействием в задаче рассеяния носителей. Обратим внимание, что в широкой области по  $\mathbf{q}$  это рассеяние резко анизотропно.

Обычно для анализа взаимодействия вводят функцию Элиашберга  $\alpha^2(\omega)F(\omega)$  [8, 36]. В нашем сильно анизотропном случае для характеристики взаимодействия в среднем на рис. 5 мы приводим плотность состояний спиновых волн  $\nu_m(\omega)$  и спектральную функцию  $\Phi(\omega)$ , являющуюся аналогом функции Элиашберга  $\alpha^2(\omega)F(\omega)$ , а на рис. 6 спектральную функцию взаимодействия с тепловыми магнонами  $\Phi_{th}(\omega)$ :

$$\nu_m(\omega) = \int \frac{d^2 q}{(2\pi)^2} \delta(\omega - \omega_q), \quad (13)$$

$$\Phi(\omega) = J^2 \int \frac{d^2 q}{(2\pi)^2} \delta(\omega - \omega_q) \frac{F_q}{\omega_q},$$

$$\Phi_{th}(\omega) = J^2 \int \frac{d^2 q}{(2\pi)^2} \delta(\omega - \omega_q) \frac{F_q}{\omega_q} n_B(\omega_q). \quad (14)$$

На этих же рисунках представлена дырочная плотность состояний (энергия отсчитывается от химического потенциала для допирования  $n_h = 0.15$ , см. рис. 2)

$$\nu_h(\omega) = \int \frac{d^2 k}{(2\pi)^2} \delta(\omega - E_k^{(1)}) Z_k^{(1)}. \quad (15)$$

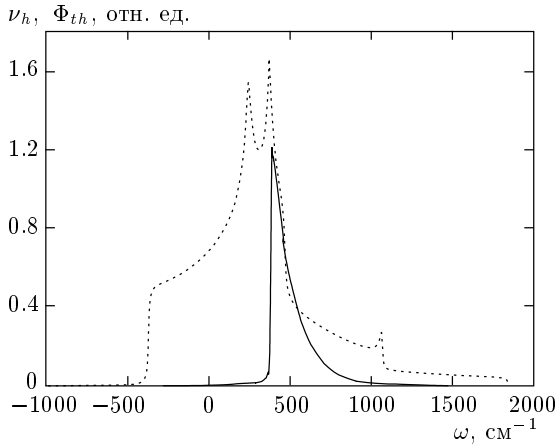
Как видно на рис. 5, функция  $\nu_m(\omega)$  имеет слабую ступеньку при  $\omega = \omega_Q \sim 400 \text{ см}^{-1} \approx 500 \text{ K}$ , возникающую от вклада спиновых волн с импульсами близкими к  $\mathbf{Q}$ . Однако для функции  $\Phi(\omega)$  эта особенность уже выражена значительно резче благодаря большой величине  $C_Q$  (см. рис. 4).

Что же касается спектральной функции  $\Phi_{th}(\omega)$  (рис. 6), то она имеет резкий пик на той же частоте. Более подробно роль этого пика и положение максимума плотности состояний носителей мы обсудим при анализе  $\sigma(\omega)$  в разд. 5.

#### 4. ПРОВОДИМОСТЬ В ИНФРАКРАСНОМ ДИАПАЗОНЕ

Выражение для проводимости в теории линейного отклика имеет вид [37]

$$\sigma(\omega) = \frac{1}{V} \langle \langle P_x | j_x \rangle \rangle_\omega,$$



**Рис. 6.** Плотность состояний голой дырки  $\nu_h(\omega - \mu)$  (пунктир) и тепловая спектральная функция  $\Phi_{th}(\omega)$  (сплошная кривая) (см. [14]) указаны в относительных единицах. Параметры те же, что и на рис. 1,  $\omega = 0$  соответствует химическому потенциалу для  $n_h = 0.15$

где  $\hat{\mathbf{P}}$  и  $\hat{\mathbf{j}}$  — соответственно операторы поляризации и тока,  $V$  — объем системы. Поляризация ( $e = 1$ )

$$\hat{\mathbf{P}} = \sum_{n,\sigma} \mathbf{r}_n a_{n\sigma}^\dagger a_{n\sigma}$$

и ток связаны стандартным соотношением  $\hat{\mathbf{j}} = \hat{\mathbf{P}} = i[\hat{H}, \hat{\mathbf{P}}]$ . Для гамильтонiana (5) оператор тока имеет вид

$$\hat{\mathbf{j}} = -i \sum_{\mathbf{r}, \rho, \sigma} t_\rho \rho a_{\mathbf{r}+\rho, \sigma}^\dagger a_{\mathbf{r}, \sigma} = \sum_{\mathbf{k}, \sigma} \mathbf{v}(\mathbf{k}) a_{\mathbf{k}, \sigma}^\dagger a_{\mathbf{k}, \sigma},$$

$$\mathbf{v}(\mathbf{k}) = \frac{\partial \varepsilon_{\mathbf{k}}}{\partial \mathbf{k}},$$

где  $\mathbf{v}(\mathbf{k})$  — скорость голой дырки.

Для вычисления проводимости  $\sigma(\omega)$  удобно использовать аппарат функций памяти  $M(\omega)$  [24]:

$$\sigma(\omega) = \frac{1}{V} \frac{i\chi_0}{\omega + M(\omega)}, \quad M(\omega) = M'(\omega) + i\Gamma(\omega), \quad (16)$$

где  $\Gamma(\omega)$  определяет обратное время релаксации, а  $M'(\omega)$  связана с перенормировкой массы.

Параметр  $\chi_0$  выражается через операторы тока и поляризации:

$$\chi_0 = i \langle [\hat{j}_x, \hat{P}_x] \rangle \quad (17)$$

и имеет вид

$$\begin{aligned} \chi_0 &= \sum_{\mathbf{k}, \sigma} \frac{\partial^2 \varepsilon_{\mathbf{k}}}{\partial k_x^2} \langle a_{\mathbf{k}, \sigma}^\dagger a_{\mathbf{k}, \sigma} \rangle = \\ &= 2 \sum_{\mathbf{k}, i=1}^4 \frac{\partial^2 \varepsilon_{\mathbf{k}}}{\partial k_x^2} n_F(E_{\mathbf{k}}^{(i)}) Z_{\mathbf{k}}^{(i)}. \end{aligned} \quad (18)$$

Здесь среднее  $\langle a_{\mathbf{k}, \sigma}^\dagger a_{\mathbf{k}, \sigma} \rangle$  выражено через функцию Грина (9).

Для получения явного выражения для  $M(\omega)$  следует использовать цепочки функций Грина с дифференцированием по первому и второму аргументам:

$$\omega \langle \langle P_x | j_x \rangle \rangle_\omega = i\chi_0 + i \langle \langle j_x | j_x \rangle \rangle_\omega, \quad (19)$$

$$\omega \langle \langle P_x | j_x \rangle \rangle_\omega = i\chi_0 + \langle \langle P_x | F_x^\dagger \rangle \rangle_\omega, \quad (20)$$

$$\omega \langle \langle j_x | j_x \rangle \rangle_\omega = \langle \langle j_x | F_x^\dagger \rangle \rangle_\omega. \quad (21)$$

Возникает оператор силы  $\hat{\mathbf{F}}$ :

$$\hat{\mathbf{F}} = [\hat{\mathbf{j}}, \hat{H}],$$

$$\mathbf{F} = -iJ \sum_{\mathbf{r}, \rho=\mathbf{g}_1, 2\mathbf{g}_2, \mathbf{d}} t_\rho \rho a_{\mathbf{r}+\rho, \sigma_1}^\dagger (S_{\mathbf{r}}^\alpha - S_{\mathbf{r}+\rho}^\alpha) \hat{\sigma}_{\sigma_1 \sigma_2}^\alpha a_{\mathbf{r}, \sigma_2}.$$

В результате  $M(\omega)$  выражается через неприводимую функцию Грина типа «сила—сила»

$$M(\omega) = -(\chi_0 \omega)^{-1} [K + \langle \langle F_x | F_x^\dagger \rangle \rangle_\omega^{irred}],$$

где  $K = \langle [j_x, F_x^\dagger] \rangle$  — действительная величина.

Вычисление  $\langle \langle F_x | F_x^\dagger \rangle \rangle_\omega^{irred}$  можно выполнить в приближении связанных мод. Подробно процедура получения выражений для  $\Gamma(\omega)$  и  $M'(\omega)$  дана в Приложении Б. Приведем окончательный вид  $\Gamma(\omega)$ :

$$\begin{aligned} \Gamma(\omega) &= \frac{1 - e^{-\omega/T}}{\omega} \frac{\pi J^2}{\chi_0} \frac{1}{N} \sum_{\mathbf{k}, \mathbf{q}} (v_x(\mathbf{k}) - v_x(\mathbf{k} + \mathbf{q}))^2 \times \\ &\times \frac{F_{\mathbf{q}}}{\omega_{\mathbf{q}}} \sum_{i,j=1}^4 Z_{\mathbf{k}}^{(i)} Z_{\mathbf{k}+\mathbf{q}}^{(j)} n_F(E_{\mathbf{k}}^{(i)}) (1 - n_F(E_{\mathbf{k}+\mathbf{q}}^{(j)})) \times \\ &\times \left[ (1 + n_B(\omega_{\mathbf{q}})) \delta(E_{\mathbf{k}+\mathbf{q}}^{(j)} - E_{\mathbf{k}}^{(i)}) + \omega_{\mathbf{q}} - \omega \right] + \\ &+ n_B(\omega_{\mathbf{q}}) \delta(E_{\mathbf{k}+\mathbf{q}}^{(j)} - E_{\mathbf{k}}^{(i)}) - \omega_{\mathbf{q}} - \omega \right]. \end{aligned} \quad (22)$$

Структура  $\Gamma(\omega)$  имеет ясный физический смысл. Слагаемые, пропорциональные  $(1 + n_B(\omega_{\mathbf{q}}))$  и  $n_B(\omega_{\mathbf{q}})$ , описывают соответственно процессы с испусканием и поглощением магнона с энергией  $\omega_{\mathbf{q}}$ . Комбинация ферми-распределений

$n_F(E_{\mathbf{k}}^{(i)}) (1 - n_F(E_{\mathbf{k}+\mathbf{q}}^{(j)}))$  учитывает вероятности заполнения начального  $\mathbf{k}$ - и конечного  $\mathbf{k} + \mathbf{q}$ -состояний. Взаимодействие со спиновой подсистемой описывается множителем  $J^2 F_{\mathbf{q}} \omega_{\mathbf{q}}^{-1}$ .

Выражение (16) обычно записывают в виде обобщенной формулы Друде:

$$\sigma(\omega) = \frac{\tilde{\omega}_{pl}^2}{4\pi} \frac{m}{m^*(\omega)} \frac{1}{1/\tau^*(\omega) - i\omega}, \quad (23)$$

где

$$\frac{m^*}{m} = 1 + \frac{M'(\omega)}{\omega}, \quad \frac{1}{\tau^*} = \frac{\Gamma(\omega)}{1 + M'(\omega)/\omega}, \quad (24)$$

$$\tilde{\omega}_{pl}^2 = 4\pi\chi_0 V^{-1}.$$

Из выражения (22) следует, что в нашей модели затухание возникает вследствие рассеяния спинового полярона на спиновых волнах и описывается гамильтонианом  $\hat{J}$  в (5).

## 5. РЕЗУЛЬТАТЫ И ОБСУЖДЕНИЕ

Для вычисления  $\sigma(\omega)$ ,  $\rho$  и  $\tilde{\omega}_{pl}$  в практических единицах необходимо задать среднее расстояние  $a_z$  между  $\text{CuO}_2$ -плоскостями, которое принималось  $a_z = 6.6 \text{ \AA}$ , что отвечает лантановым соединениям [2]. Результаты расчетов приводятся в диапазоне частот до  $\omega \approx 2000 \text{ см}^{-1}$  ( $\sim 0.25 \text{ эВ}$ ). В этом интервале частот вклад в  $M'$  и оптическое затухание  $\Gamma(\omega)$  дает только дырочное рассеяние внутри нижней зоны  $E_{\mathbf{k}}^{(1)}$ , приведенной на рис. 2 (т. е. слагаемые с  $i = j = 1$  в (22)). Это связано с тем, что в рамках нашего метода некогерентная часть дырочной спектральной функции моделируется тремя верхними зонами. Эти зоны отстоят от расположенного в нижней зоне уровня Ферми (при разумном допировании) на энергию более  $0.3 \text{ эВ} \sim 2400 \text{ см}^{-1}$ . Учет рассеяния в некогерентную часть в принципе можно было бы осуществить путем «размазки» верхних зон по энергиям при каждом фиксированном  $\mathbf{k}$ .

На рис. 7 представлено оптическое затухание  $\Gamma(\omega)$  при температуре  $T = 0.1I \approx 200 \text{ K}$  для трех значений допирования:  $n_h = 0.15$ ,  $n_h = 0.25$ ,  $n_h = 0.3$ . На фоне общего возрастания  $\Gamma(\omega)$  интересной особенностью является резкий рост  $\Gamma(\omega)$  до частот  $750 \text{ см}^{-1}$ , что особенно ярко выражено для случая  $n_h = 0.15$ .

Остановимся подробнее на допировании  $n_h = 0.15$ . В области малых частот зависимость  $\Gamma(\omega)$  в основном определяется рассеянием на спиновых возбуждениях с импульсами  $\mathbf{q}$  около  $\mathbf{Q}$ . Это становится ясно, если рассмотреть в низкочастотной об-

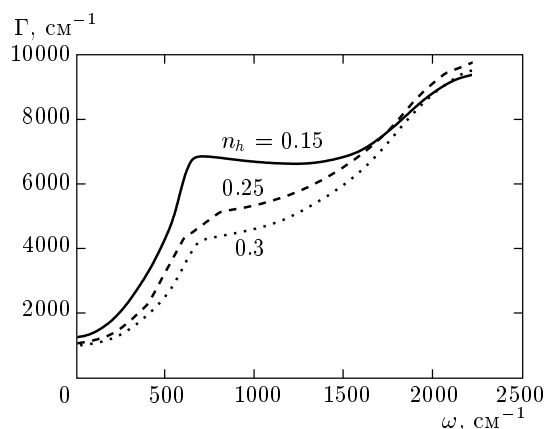


Рис. 7. Оптическое затухание  $\Gamma(\omega)$  для трех значений допирования  $n_h = 0.15, 0.25, 0.3$

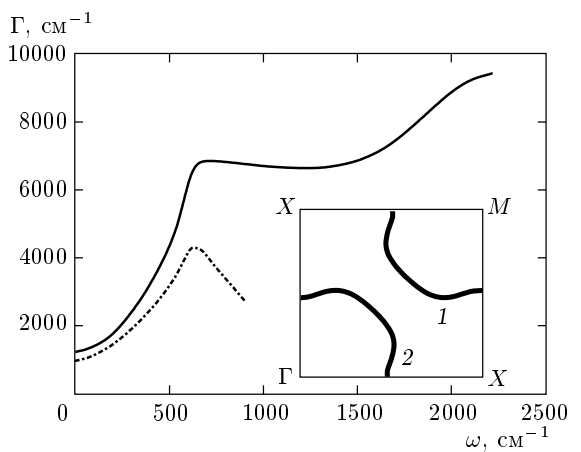


Рис. 8. Оптическое затухание  $\Gamma(\omega)$  (сплошная кривая) и вклад в низкочастотную часть  $\Gamma(\omega)$ , обусловленный рассеянием на векторы  $\mathbf{q}$  близкие к вектору антиферромагнетизма  $\mathbf{Q}$ :  $0.9Q_{x,y} < |q_{x,y}| < Q_{x,y}$  (штрихпунктирная линия, допирание  $n_h = 0.15$ ).

На вставке показаны линии 1 и 2 (см. текст)

ласти вклад в  $\Gamma(\omega)$ , обусловленный процессами рассеяния на векторы  $\mathbf{q}$ , удовлетворяющие неравенству  $0.9Q_{x,y} < |q_{x,y}| < Q_{x,y}$  (т. е. векторы  $\mathbf{q}$  лежат в малых областях около четырех точек  $M$  зоны Бриллюэна). Этот вклад представлен на рис. 8 штрихпунктирной линией наряду с полной величиной  $\Gamma(\omega)$  (сплошная линия). Для выяснения причин, по которым такие процессы рассеяния оказываются доминирующими, рассмотрим выражение (22) при  $\omega = 0$ . В этом случае оба слагаемых с  $\delta$ -функциями от энергий совпадают и  $\Gamma(0)$  принимает вид

$$\begin{aligned} \Gamma(0) = & 2 \frac{1}{T} \frac{\pi J^2}{\chi_0} \frac{1}{N} \sum_{\mathbf{k}, \mathbf{q}} (v_x(\mathbf{k}) - v_x(\mathbf{k} + \mathbf{q}))^2 \times \\ & \times Z_{\mathbf{k}}^{(1)} Z_{\mathbf{k}+\mathbf{q}}^{(1)} n_F(E_{\mathbf{k}}^{(i)}) (1 - n_F(E_{\mathbf{k}+\mathbf{q}}^{(j)})) \times \\ & \times \frac{F_{\mathbf{q}}}{\omega_{\mathbf{q}}} n_B(\omega_{\mathbf{q}}) \delta(E_{\mathbf{k}+\mathbf{q}}^{(1)} - E_{\mathbf{k}}^{(1)} - \omega_{\mathbf{q}}). \quad (25) \end{aligned}$$

Спектральная функция  $\Phi_{th}(\omega)$  содержит множитель  $F_{\mathbf{q}} \omega_{\mathbf{q}}^{-1} n_B(\omega_{\mathbf{q}})$  и имеет максимум при  $\omega_{\mathbf{q}} \approx 500$  К, обусловленный близостью значений векторов  $\mathbf{q}$  и  $\mathbf{Q}$  (см. рис. 6). Это является первым фактором, определяющим большой вклад от процессов рассеяния на  $\mathbf{q} \sim \mathbf{Q}$  в (25).

Вторым важным фактором является квазинестинг ферми-поверхности, который позволяет при рассеянии на  $\mathbf{q} \sim \mathbf{Q}$  удовлетворить в (25) закону сохранения энергии. При этом реализуется большой фазовый объем рассеянных состояний.

Пусть, например, состояние  $\mathbf{k}$  находится в первом квадранте под поверхностью Ферми и  $\mathbf{k} \approx (0.6\pi, 0.6\pi)$ , тогда рассеянное состояние  $\mathbf{k} + \mathbf{Q}$  окажется в третьем квадранте около соответствующего листа поверхности Ферми (см. рис. 1). Согласно (25) при этом происходит поглощение магнона  $\omega_{\mathbf{Q}}$ . Если бы существовала ситуация нестинга, т. е. каждый лист поверхности Ферми был бы симметричен относительно границы соответствующей магнитной зоны Бриллюэна  $((\pm\pi, 0), (0, \pm\pi))$ , то такое рассеяние не давало бы вклада (25) из-за нарушения закона сохранения энергии (так как  $E_{\mathbf{k}+\mathbf{Q}} \approx E_{\mathbf{k}}$ ) и, кроме того, оба состояния лежали бы под поверхностью Ферми. В случае квазинестинга дно дырочной зоны, лежащей в каждом квадранте зоны Бриллюэна под эллипсоидальной поверхностью Ферми, сдвинуто к точкам  $M$  относительно точек  $(\pm\pi/2, \pm\pi/2)$ , как это и наблюдается у дипированных ВТСП. Благодаря квазинестингу состояние  $\mathbf{k} + \mathbf{Q}$  окажется в третьем квадранте над соответствующим листом поверхности Ферми с фактором  $(1 - n_F(E_{\mathbf{k}+\mathbf{Q}}^{(1)})) \sim 1$ . Одновременно становится возможным выполнение закона сохранения энергии  $E_{\mathbf{k}+\mathbf{Q}}^{(1)} - E_{\mathbf{k}}^{(1)} - \omega_{\mathbf{Q}} = 0$ . Для иллюстрации последнего на вставке на рис. 8 линией 1 представлены состояния  $\mathbf{k}$ , для которых выполняется закон сохранения энергии  $E_{\mathbf{k}+\mathbf{Q}}^{(1)} - E_{\mathbf{k}}^{(1)} - \omega_{\mathbf{Q}} = 0$ . Линией 2 представлены образы точек из третьего квадранта  $\mathbf{k} + \mathbf{Q}$ , полученных отражением относительно диагонали, соединяющей точки  $(-\pi, \pi)$  и  $(\pi, -\pi)$ .

Сопоставление линии 1 с поверхностью Ферми для  $n_h = 0.15$  (рис. 2) показывает, что значительная ее часть находится достаточно глубоко под по-

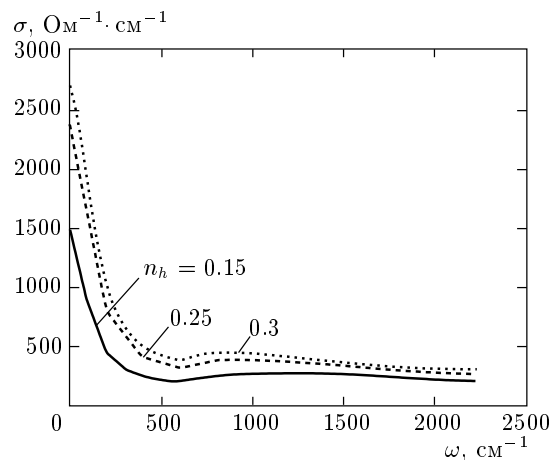


Рис. 9. Проводимость  $\sigma(\omega)$  для трех значений дипирования  $n_h = 0.15, 0.25, 0.3$

верхностью Ферми. Для параметров нашей модели ( $p = 0.15, I = 0.4\tau, J = 1.5\tau, t_g = 0.3\tau, t_d = 0.25\tau, t_{2g} = 0.2\tau, \tau = 0.4$  эВ) при  $n_h = 0.15$  расстояние  $W_\mu$  между химическим потенциалом и дном зоны равно  $W_\mu \approx 0.04$  эВ (см. рис. 2). Такой же порядок имеет энергия спиновых возбуждений при  $\mathbf{q} \sim \mathbf{Q}$  (рис. 3). Это означает, что вклад в рассеяние дают  $\mathbf{k}$ -состояния, лежащие достаточно глубоко под поверхностью Ферми. В этом, в частности, отличие нашей модели от электрон-фононного рассеяния в обычных металлах, где фононные частоты малы по сравнению с энергией Ферми.

Рассеянные состояния  $\mathbf{k} + \mathbf{q}, \mathbf{q} \sim \mathbf{Q}$  имеют относительно химического потенциала энергию  $\sim \omega_{\mathbf{Q}}$ . На рис. 6 видно, что этим энергиям отвечает не только пик спектральной функции  $\Phi_{th}(\omega)$ , но и пик в плотности состояний носителей  $\nu_h(\omega)$ .

Таким образом, на примере случая  $\omega = 0, n_h = 0.15$  объясняется определяющая роль квазинестинга и бозонной моды с  $\omega_{\mathbf{Q}} \sim 500$  К для низкочастотной области  $\Gamma(\omega)$ .

На рис. 9 представлена зависимость  $\sigma(\omega)$  для трех режимов дипирования  $n_h = 0.15, n_h = 0.25$  и  $n_h = 0.3$ . Кривая имеет обычное поведение для дипированных соединений — резкий пик при  $\omega = 0$  и недрудевское поведение при больших частотах,  $\omega > 500$  см<sup>-1</sup>. Имеется также немонотонность при  $\omega \approx 800$  см<sup>-1</sup>.

В таблице приведены температурная зависимость щели в спектре спиновых возбуждений  $\omega_{\mathbf{Q}}$ , электросопротивление  $\rho$  и плазменная частота  $\tilde{\omega}_{pl}$ . Видно, что  $\omega_{\mathbf{Q}}$  определяется, в первую очередь, параметром фruстрации  $p = 0.15$  и слабо растет с

Величина  $\omega_Q$  энергии спин-волновых возбуждений при  $\mathbf{Q} = (\pi, \pi)$ ; температурная зависимость сопротивления  $\rho$  и плазменной частоты  $\tilde{\omega}_{pl}$  для  $n_h = 0.15$

$T$	$0.05I$ (90 K)	$0.075I$ (140 K)	$0.1I$ (190 K)	$0.15I$ (280 K)	$0.2I$ (370 K)	$0.25I$ (460 K)	$0.3I$ (560 K)
$\omega_Q$	$0.114\tau$	$0.115\tau$	$0.119\tau$	$0.132\tau$	$0.149\tau$	$0.171\tau$	$0.194\tau$
$\omega_Q/T$	5.7	3.8	3.0	2.2	1.9	1.7	1.6
$\rho$ , мкОм·см	50	280	620	1290	1710	1920	2100
$\tilde{\omega}_{pl}$ , эВ	1.37	1.35	1.31	1.24	1.19	1.14	1.10

увеличением температуры.

Вычисленные значения сопротивления  $\rho$  сравнимы с экспериментальными. Напомним, что мы трактуем допирование  $n_h = 0.15$  как промежуточное, а к режиму оптимального допирования относим значение  $n_h = 0.3$ . При температурах  $T \approx 300$  К оптимальному допированию соответствует  $\rho \approx 700$  мкОм·см. Это значение того же порядка, но приблизительно в два раза больше, чем экспериментальное  $\rho \approx 300$  мкОм·см [3]. Как видно в таблице, сопротивление демонстрирует почти линейную зависимость от температуры.

Характерное значение  $\tilde{\omega}_{pl} \approx 1.3$  эВ (см. таблицу) близко к экспериментальному  $\omega_{pl} \approx 1$  эВ, получаемому с помощью измерения энергетических потерь быстрых электронов [25, 38, 39]. Несмотря на низкую концентрацию носителей и относительно малую ширину нижней поляронной зоны, мы получаем разумную величину  $\tilde{\omega}_{pl}$ , так как величина  $\chi_0$  (18) существенным образом зависит от скоростей голых носителей  $\mathbf{v}(\mathbf{k})$ . Если ввести эффективную массу согласно (24), то для низкочастотной области получим  $m^* \approx 8$ .

Итак, наш анализ сильно коррелированной модели кондо-решетки в рамках спин-поляронного подхода показывает, что наличие моды спиновых возбуждений с  $\omega_Q \sim 500$  К и сильного взаимодействия этой моды с подсистемой носителей вследствие квазинестингового характера структуры нижней зоны позволяет качественно описать низкочастотную часть оптической проводимости в CuO<sub>2</sub>-плоскости.

В заключение укажем ряд недостатков принятого подхода, которые ведут, по нашему мнению, к некоторым расхождениям с экспериментом (к таким расхождениям приводит вычисление коэффициента  $R(\omega)$ , который демонстрирует правильный квазилинейный закон убывания  $R(\omega)$  в широкой области частот, но с коэффициентом наклона существенно большим, чем экспериментальный).

Модель кондо-решетки не отражает следующей важной особенности плоскости CuO<sub>2</sub>: вычеты в нижней зоне  $Z_{\mathbf{k}}^{(1)}$  сильно подавлены для векторов  $\mathbf{k}$  близких к точкам  $\Gamma = (0, 0)$  и  $M$ . Такое убывание  $Z_{\mathbf{k}}^{(1)}$  описывается в трехзонной модели, и его учет может значительно уменьшить значение  $\Gamma(\omega)$  и устранить расхождение с экспериментом в поведении  $R(\omega)$ . Далее, наш подход моделирует некогерентную часть спектральной функции полярона в виде верхних когерентных полярона зон. Наш анализ показывает, что такое описание не вполне адекватно и искусственно ведет к уменьшению  $\Gamma(\omega)$  для  $\omega \geq 2500$  см<sup>-1</sup>. И наконец, следовало бы учесть увеличение параметра фruстрации  $p$  с увеличением допирования  $n_h$ .

Работа выполнена при финансовой поддержке фондов INTAS (грант 97-11066), РФФИ (проект 01-02-16719) и NATO Collaborative Linkage Grant (PST.CLG.976416). Авторы выражают свою благодарность Р. Кузяну и Р. Хайну (R. Haun) за полезные обсуждения. Мы также выражаем признательность Е. Г. Максимову за замечания и предложения.

## ПРИЛОЖЕНИЕ А

Приведем метод нахождения спин-поляронных зон  $E_{\mathbf{k}}^{(l)}$ , вычетов  $Z_{\mathbf{k}}^{(l)}$  (см. (9)) и явный вид матричных элементов, возникающих в проекционном методе.

Для выбранного базиса спин-поляронных операторов (7), (8) вводим запаздывающие двухвременные функции Грина  $G_{ij}(t, \mathbf{k})$  для фурье-компонент  $\varphi_{\mathbf{k}}^{(j)}$  операторов  $\varphi_{\mathbf{r}}^{(j)}$  (опуская для краткости спиновые индексы):

$$G_{ij}(t, \mathbf{k}) \equiv \langle \langle \varphi_{\mathbf{k}}^{(i)}(t) | \varphi_{\mathbf{k}}^{(j)\dagger}(0) \rangle \rangle = \\ = -i\Theta(t) \left\langle \left\{ \varphi_{\mathbf{k}}^{(i)}(t), \varphi_{\mathbf{k}}^{(j)\dagger}(0) \right\} \right\rangle, \quad (26)$$

$$\varphi_{\mathbf{k}}^{(j)} = \frac{1}{\sqrt{N}} \sum_{\mathbf{r}} e^{-i\mathbf{kr}} \varphi_{\mathbf{r}}^{(j)}, \quad i, j = 1-4.$$

Уравнение движения фурье-компонент гриновских функций имеет вид

$$\begin{aligned} \omega \langle \langle \varphi_{\mathbf{k}}^{(i)} | \varphi_{\mathbf{k}}^{(j)\dagger} \rangle \rangle_{\omega} &= K_{ij} + \langle \langle \psi_{\mathbf{k}}^{(i)} | \varphi_{\mathbf{k}}^{(j)\dagger} \rangle \rangle_{\omega}, \\ K_{ij}(\mathbf{k}) &= \left\langle \left\{ \varphi_{\mathbf{k}}^{(i)}, \varphi_{\mathbf{k}}^{(j)\dagger} \right\} \right\rangle, \quad \psi_{\mathbf{k}}^{(i)} = \left[ \varphi_{\mathbf{k}}^{(i)}, \hat{H} \right]. \end{aligned} \quad (27)$$

В проекционном методе новые операторы  $\psi_{\mathbf{k}}^{(i)}$  аппроксимируются проекциями на пространство  $\left\{ \varphi_{\mathbf{k}}^{(i)} \right\}$  базисных операторов (7), (8):

$$\begin{aligned} \psi_{\mathbf{k}}^{(i)} &\approx \sum_l L_{il}(\mathbf{k}) \varphi_{\mathbf{k}}^{(l)}, \quad L(\mathbf{k}) = D(\mathbf{k}) K^{-1}, \\ D_{ij}(\mathbf{k}) &= \left\langle \left\{ \psi_{\mathbf{k}}^{(i)}, \varphi_{\mathbf{k}}^{(j)\dagger} \right\} \right\rangle. \end{aligned} \quad (28)$$

После подстановки приближенных выражений для операторов  $\psi_{\mathbf{k}}^{(i)}$  (28) в уравнение движения (27)

### **K-матрица**

$$\begin{aligned} K_{11} &= 1, \quad K_{14} = u, \\ K_{22} &= 0.75, \quad K_{23} = u, \quad K_{24} = -u, \\ K_{33} &= u, \quad K_{34} = w - 2uv, \\ K_{44} &= 0.75u - w + 2uv. \end{aligned}$$

### **T-матрица**

$$\begin{aligned} T_{11} &= 4t_g \gamma_g + 4t_d \gamma_d + 4t_{2g} \gamma_{2g}, \\ T_{14} &= u(4t_g \gamma_g + 4t_d \gamma_d + 4t_{2g} \gamma_{2g}), \\ T_{22} &= 4t_g \gamma_g C_g + 4t_d \gamma_d C_d + 4t_{2g} \gamma_{2g} C_{2g}, \\ T_{23} &= 4t_g \gamma_g u_g + 4t_d \gamma_d u_d + 4t_{2g} \gamma_{2g} u_{2g}, \\ T_{24} &= 4t_g \gamma_g C_g (v_g - v) + 4t_d \gamma_d C_d (v_d - v) + 4t_{2g} \gamma_{2g} C_{2g} (v_{2g} - v), \\ T_{33} &= T_{23}, \\ T_{34} &= 4t_g \gamma_g (w_g - uv_g - u_g v) + 4t_d \gamma_d (w_d - uv_d - u_d v) + 4t_{2g} \gamma_{2g} (w_{2g} - uv_{2g} - u_{2g} v), \\ T_{44} &= 4t_g \gamma_g \left( C_g u_g + C_g (v^2 + 2v_g v) + \frac{2}{3} C_g^2 (v^2 + 3v_g^2) - 4C_g \left( \frac{1}{3} u_g v + uv_g \right) + u^2 - \frac{1}{3} u^2 - \frac{2}{3} W_g^{(1)} \right) + \\ &+ 4t_d \gamma_d (C_d u_d + C_d (v^2 + 2v_d v) + \frac{2}{3} C_d^2 (v^2 + 3v_d^2) - 4C_d \left( \frac{1}{3} u_d v + uv_d \right) + u^2 - \frac{1}{3} u_d^2 - \frac{2}{3} W_d^{(1)}) + \\ &+ 4t_{2g} \gamma_{2g} (C_{2g} u_{2g} + C_{2g} (v^2 + 2v_{2g} v) + \frac{2}{3} C_{2g}^2 (v^2 + 3v_{2g}^2) - 4C_{2g} \left( \frac{1}{3} u_{2g} v + uv_{2g} \right) + u^2 - \frac{1}{3} u_{2g}^2 - \frac{2}{3} W_{2g}^{(1)}). \end{aligned}$$

### **tilde{T}-матрица**

$$\begin{aligned} J_{1j} &= JK_{2j}, \quad j = 1, 2, 3, 4, \\ J_{2j} &= J(0.75K_{1j} - K_{2j}), \quad j = 2, 3, 4, \\ J_{33} &= JK_{34}, \\ J_{34} &= J(0.75u - w + 2uv), \\ J_{44} &= J \left( \frac{7}{4}w - 3.5uv - 0.75u \right). \end{aligned}$$

### **I-матрица**

$$\begin{aligned} I_{22} &= -4I_1 C_g - 4I_2 C_d, \\ I_{23} &= 4I_1 C_g (v_g - v) + 4I_2 C_d (v_d - v), \\ I_{24} &= 2I_1 (C_g (v - v_g) + u_g) + 2I_2 (C_d (v - v_d) + u_d), \end{aligned}$$

система уравнений (27) для гриновских функций  $\langle \langle \varphi_{\mathbf{k}}^{(i)} | \varphi_{\mathbf{k}}^{(j)\dagger} \rangle \rangle_{\omega}$  становится замкнутой и ее можно представить в матричной форме:

$$(\omega E - DK^{-1}) G = K, \quad (29)$$

где  $E$  — единичная матрица. Решение системы позволяет определить функцию Грина голой дырки (9).

В частности, спектр квазичастиц  $E_{\mathbf{k}}$  определяется полюсами функции Грина  $G$  и находится из уравнения

$$\det |KE_{\mathbf{k}} - D| = 0.$$

Представим явный вид матричных элементов  $K$  и  $D$ .

Ниже приведены следующие обозначения:  
 $D_{ij}(\mathbf{k}) = \langle \{ [\varphi_{\mathbf{k}}^{(i)}, (\hat{T} + \hat{J} + \hat{I})], \varphi_{\mathbf{k}}^{(j)\dagger} \} \rangle = \tilde{T}_{ij} + \tilde{J}_{ij} + \tilde{I}_{ij}$ ;  
 $K_{ij}, \tilde{T}_{ij}, \tilde{J}_{ij}, \tilde{I}_{ij}$  — симметричные матрицы.  
 $\gamma_g = 0.5(\cos k_x + \cos k_y)$ ,  $\gamma_d = \cos k_x \cos k_y$ ,  
 $\gamma_{2g} = 0.5(\cos 2k_x + \cos 2k_y)$ .  
Ниже даны ненулевые матричные элементы.

$$\begin{aligned}
I_{33} &= 4I_1 C_g(v_g - v) + 4I_2 C_d(v_d - v), \\
I_{34} &= 4I_1 \left( \frac{2}{3} W_g^{(3)} + \frac{2}{3} C_g(uv - w - uv_g + w_g) + C_g(v^2 - 1.5vv_g + 0.5v_g^2) + \frac{2}{3} C_g^2(v_g^2 - vv_g) \right) + \\
&+ 4I_2 \left( \frac{2}{3} W_d^{(3)} + \frac{2}{3} C_d(uv - w - uv_d + w_d) + C_d(v^2 - 1.5vv_d + 0.5v_d^2) + \frac{2}{3} C_d^2(v_d^2 - vv_d) \right), \\
I_{44} &= 4I_1 \left( 0.5w_g^{(1)} - u_g v_g - vv_g \left( C_g + \frac{8}{3} C_g^2 \right) - v_g^2 C_g + \frac{8}{3} C_g u_g v_g + \frac{8}{3} C_g u v - C_g v^2 - C_g u - \right. \\
&- \frac{2}{3} u_g u + \frac{2}{3} W_g^{(2)} + 0.75 C_g(v_g - v) \Big) + 4I_2 \left( 0.5w_d^{(1)} - u_d v_d - vv_d \left( C_d + \frac{8}{3} C_d^2 \right) - v_d^2 C_d + \right. \\
&+ \frac{8}{3} C_d u_d v_d + \frac{8}{3} C_d u v - C_d v^2 - C_d u - \frac{2}{3} u_d u + \frac{2}{3} W_d^{(2)} + 0.75 C_d(v_d - v) \Big) - I_{34}.
\end{aligned}$$

Выше использовались следующие обозначения:

$$\begin{aligned}
v &= \frac{1}{N} \sum_{\kappa} 1, \quad \frac{1}{N} \sum_{\kappa} \equiv \frac{1}{N} \sum_{\kappa \in \Omega}, \\
v_l &= \frac{1}{N} \sum_{\kappa} e^{i\kappa l}; \quad l = \mathbf{g}, \mathbf{d}, 2\mathbf{g}, \\
u &= \frac{1}{N} \sum_{\kappa} C_{\kappa}, \\
u_l &= \frac{1}{N} \sum_{\kappa} e^{i\kappa l} C_{\kappa}, \quad l = \mathbf{g}, \mathbf{d}, 2\mathbf{g}; \\
w &= \frac{1}{N^2} \sum_{\kappa_1, \kappa_2} C_{\kappa_1 - \kappa_2}, \\
w_l &= \frac{1}{N^2} \sum_{\kappa_1, \kappa_2} e^{-i\kappa_1 l} C_{\kappa_1 - \kappa_2}, \quad l = \mathbf{g}, \mathbf{d}, 2\mathbf{g}, \\
w_l^{(1)} &= \frac{1}{N^2} \sum_{\kappa_1, \kappa_2} e^{-i(\kappa_1 - \kappa_2)l} C_{\kappa_1 - \kappa_2}, \quad l = \mathbf{g}, \mathbf{d}, \\
W_l^{(1)} &= \frac{1}{N^2} \sum_{\kappa_1, \kappa_2, \rho} e^{-i(\kappa_1 - \kappa_2)\rho} e^{-i\kappa_2 l} C_{\rho} C_{\rho - l}, \quad l = \mathbf{g}, \mathbf{d}, 2\mathbf{g}, \\
W_l^{(2)} &= \frac{1}{N^2} \sum_{\kappa_1, \kappa_2, \rho} e^{-i(\kappa_1 - \kappa_2)\rho} C_{\rho} C_{\rho - g}, \quad l = \mathbf{g}, \mathbf{d}, \\
W_l^{(3)} &= \frac{1}{N^2} \sum_{\kappa_1, \kappa_2, \rho} (e^{i\kappa_2 l} - e^{i(\kappa_1 - \kappa_2)l}) C_{\kappa_1 - \kappa_2} C_{\kappa_2}, \quad l = \mathbf{g}, \mathbf{d}.
\end{aligned}$$

## ПРИЛОЖЕНИЕ Б

Чтобы представить  $\sigma(\omega)$  в виде (16) используем уравнения (19), (20), (21). Перепишем (21) в тождественном виде:

$$\omega \langle \langle j_x | j_x \rangle \rangle_{\omega} \langle \langle P_x | j_x \rangle \rangle_{\omega}^{-1} \langle \langle P_x | j_x \rangle \rangle_{\omega} = \langle \langle j_x | F_x^{\dagger} \rangle \rangle_{\omega}.$$

Воспользуемся далее уравнением (20) и получим

$$\langle \langle j_x | j_x \rangle \rangle_{\omega} \langle \langle P_x | j_x \rangle \rangle_{\omega}^{-1} (i\chi_0 + \langle \langle P_x | F_x^{\dagger} \rangle \rangle_{\omega}) = \langle \langle j_x | F_x^{\dagger} \rangle \rangle_{\omega}.$$

Это уравнение удобно переписать в виде

$$\begin{aligned}
\langle \langle j_x | j_x \rangle \rangle_{\omega} &= (i\chi_0)^{-1} [\langle \langle j_x | F_x^{\dagger} \rangle \rangle_{\omega} - \\
&- \langle \langle j_x | j_x \rangle \rangle_{\omega} \langle \langle P_x | j_x \rangle \rangle_{\omega}^{-1} \langle \langle P_x | F_x^{\dagger} \rangle \rangle_{\omega}] \langle \langle P_x | j_x \rangle \rangle_{\omega}.
\end{aligned}$$

Теперь подставляем последнее уравнение в (19). В результате получаем

$$\begin{aligned}
\langle \langle P_x | j_x \rangle \rangle_{\omega} &= i\chi_0 \{ \omega - \chi_0^{-1} [\langle \langle j_x | F_x^{\dagger} \rangle \rangle_{\omega} - \\
&- \langle \langle j_x | j_x \rangle \rangle_{\omega} \langle \langle P_x | j_x \rangle \rangle_{\omega}^{-1} \langle \langle P_x | F_x^{\dagger} \rangle \rangle_{\omega}] \}^{-1}.
\end{aligned}$$

Итак, получаем явное выражение  $M(\omega)$  через неприводимую функцию Грина [40] «ток–сила»:

$$\begin{aligned}
M(\omega) &= \\
&= -\frac{1}{\chi_0} [\langle \langle j_x | F_x^{\dagger} \rangle \rangle_{\omega} - \langle \langle j_x | j_x \rangle \rangle_{\omega} \langle \langle P_x | j_x \rangle \rangle_{\omega}^{-1} \langle \langle P_x | F_x^{\dagger} \rangle \rangle_{\omega}] \\
\text{или} \\
M(\omega) &= -\frac{1}{\chi_0} \langle \langle j_x | F_x^{\dagger} \rangle \rangle_{\omega}^{irred}.
\end{aligned}$$

Далее,  $M(\omega)$  следует выразить через неприводимую функцию типа «сила–сила»  $\langle\langle F_x | F_x^\dagger \rangle\rangle_\omega^{irred}$ . Дифференцируя функцию  $\langle\langle j_x | F_x^\dagger \rangle\rangle_\omega^{irred}$  по первому аргументу, получаем

$$M(\omega) = -(\chi_0\omega)^{-1} [K + \langle\langle F_x | F_x^\dagger \rangle\rangle_\omega^{irred}],$$

где неприводимость означает следующую комбинацию:

$$\begin{aligned} \langle\langle F_x | F_x^\dagger \rangle\rangle_\omega^{irred} &= \langle\langle F_x | F_x^\dagger \rangle\rangle_\omega - \\ &- \langle\langle F_x | j_x^\dagger \rangle\rangle_\omega \langle\langle P_x | j_x^\dagger \rangle\rangle_\omega^{-1} \langle\langle P_x | F_x^\dagger \rangle\rangle_\omega. \end{aligned}$$

Так как  $K$  является чисто действительной величиной, удобно сначала вычислить мнимую часть  $M(\omega)$ . Тогда

$$\begin{aligned} \Gamma(\omega) &= -(\chi_0\omega)^{-1} \operatorname{Im} \langle\langle F_x | F_x^\dagger \rangle\rangle_\omega^{irred} = \\ &= (2\chi_0\omega)^{-1} (e^{\omega/T} - 1) \mathcal{J}_{F_x^\dagger F_x}^{irred}(\omega), \end{aligned}$$

где  $\mathcal{J}_{F_x^\dagger F_x}^{irred}(\omega)$  — спектральная интенсивность функции  $\langle F_x^\dagger F_x(t) \rangle^{irred}$ .

Учитывая, что  $F_x^\dagger = -F_x$ , получаем выражение для функции  $\Gamma(\omega)$  через неприводимую временную корреляционную функцию типа «сила–сила» [15]:

$$\Gamma(\omega) = \frac{1 - e^{\omega/T}}{2\chi_0\omega} \int_{-\infty}^{+\infty} \langle F_x F_x(t) \rangle^{irred} e^{i\omega t} dt.$$

В рамках приближения связанных мод в корреляторе  $\langle F_x F_x(t) \rangle^{irred}$  оставляем только первый член, отвечающий коррелятору  $\langle F_x F_x(t) \rangle$ , и в нем делаем расщепление вида

$$\begin{aligned} &\langle a_{\mathbf{k}_1, \sigma_1}^\dagger S_{\mathbf{k}_1 - \mathbf{k}_2}^\alpha \hat{\sigma}_{\sigma_1 \sigma_2}^\alpha \times \\ &\times a_{\mathbf{k}_2, \sigma_2} a_{\mathbf{k}'_1, \sigma'_1}^\dagger(t) S_{\mathbf{k}'_1 - \mathbf{k}'_2}^\beta(t) \hat{\sigma}_{\sigma'_1 \sigma'_2}^\beta a_{\mathbf{k}'_2, \sigma'_2}(t) \rangle \approx \\ &\approx 2 \langle a_{\mathbf{k}_2, \sigma_2} a_{\mathbf{k}'_1, \sigma'_1}^\dagger(t) \rangle \langle S_{\mathbf{k}_1 - \mathbf{k}_2}^\alpha S_{\mathbf{k}'_2 - \mathbf{k}_1}^\alpha(t) \rangle \times \\ &\times \langle a_{\mathbf{k}_1, \sigma_1}^\dagger a_{\mathbf{k}_1, \sigma_1}(t) \rangle \delta_{\mathbf{k}_1 \mathbf{k}'_2} \delta_{\mathbf{k}_2 \mathbf{k}'_1} \delta_{\sigma_1 \sigma'_2} \delta_{\sigma_2 \sigma'_1}. \end{aligned}$$

После этого корреляторы  $\langle S_{\mathbf{q}}^\alpha S_{-\mathbf{q}}^\alpha(t) \rangle$ ,  $\langle a_{\mathbf{k}, \sigma}^\dagger a_{\mathbf{k}, \sigma}(t) \rangle$ ,  $\langle a_{\mathbf{k}, \sigma}^\dagger a_{\mathbf{k}, \sigma}(t) \rangle$  выражаем через фурье-компоненты дырочных и спиновых функций Грина, приведенных в разд. 2 и 3. В результате приходим к выражению (22) для  $\Gamma(\omega)$ . Выражение для действительной части  $M'(\omega)$  получается из соотношения Крамерса–Кронига:

$$M'(\omega) = \frac{1}{\pi} \int_{-\infty}^{+\infty} \frac{\Gamma(\zeta)}{\zeta - \omega} d\zeta.$$

В результате в приближении связанных мод комплексную функцию памяти  $M(\omega)$  можно представить в виде

$$\begin{aligned} M(\omega) &= \frac{J^2}{\chi_0} \frac{1}{N^2} \sum_{\mathbf{k}, \mathbf{q}} (v_x(\mathbf{k}) - v_x(\mathbf{k} + \mathbf{q}))^2 \times \\ &\times \sum_{i,j=1}^4 Z_{\mathbf{k}}^{(i)} Z_{\mathbf{k}+\mathbf{q}}^{(j)} (1 - n_F(E_{\mathbf{k}}^{(i)})) n_F(E_{\mathbf{k}+\mathbf{q}}^{(j)}) \times \\ &\times \frac{F_{\mathbf{q}}}{\omega_{\mathbf{q}}} (1 + n_B(\omega_{\mathbf{q}})) \frac{e^{E/T} - 1}{E} \times \\ &\times \left[ \frac{1}{E - \omega - i\delta} - \frac{1}{E + \omega + i\delta} \right], \end{aligned}$$

где  $E = E_{\mathbf{k}+\mathbf{q}}^{(j)} - E_{\mathbf{k}}^{(i)} - \omega_{\mathbf{q}}$ ,  $\delta > 0$ .

## ЛИТЕРАТУРА

1. J. Orenstein, G. A. Thomas, A. J. Millis, S. L. Cooper, D. H. Rapkine, T. Timusk, L. F. Schneemeyer, and J. V. Waszczak, Phys. Rev. B **42**, 6342 (1990).
2. S. Uchida, T. Ido, H. Takagi, T. Arima, Y. Tokura, and S. Tajima, Phys. Rev. B **43**, 7942 (1991).
3. H. L. Liu, D. B. Tanner, H. Berger, and G. Margaritondo, Phys. Rev. B **59**, 8962 (1999); M. A. Quijada, D. B. Tanner, R. J. Kelley, M. Onellion, H. Berger, and G. Margaritondo, Phys. Rev. B **60**, 14917 (1999).
4. N. L. Wang, A. W. McConnell, B. P. Clayman, and G. D. Gu, Phys. Rev. B **59**, 576 (1999); N. L. Wang, A. W. McConnell, and B. P. Clayman, Phys. Rev. B **60**, 14883 (1999); M. E. Ziae, N. L. Wang, B. P. Clayman, and G. D. Gu, Phys. Rev. B **62**, 9818 (2000).
5. D. B. Romero, C. D. Porter, D. B. Tanner, L. Forro, D. Mandrus, L. Mihaly, G. L. Carr, and G. P. Williams, Phys. Rev. Lett. **68**, 1590 (1992).
6. S. Lupi, P. Calvani, M. Capizzi, and P. Roy, Phys. Rev. B **62**, 12418 (2000).
7. J. J. McGuire, M. Windt, T. Startseva, T. Timusk, D. Colson, and V. Viallet-Guillen, Phys. Rev. B **62**, 8711 (2000).
8. Е. Г. Максимов, УФН **170**, 1033 (2000).
9. E. Dagotto, Rev. Mod. Phys. **66**, 763 (1994).
10. S. Uchida, K. Tamasaku, and S. Tajima, Phys. Rev. B **53**, 14558 (1996).

11. E. G. Maksimov, H. J. Kaufmann, E. K. H. Salje, Y. De Wilde, N. Bontemps, and J. P. Contour, Sol. St. Comm. **112**, 449 (1999).
12. S. V. Shulga, O. V. Dolgov, and E. G. Maksimov, Physica C **178**, 266 (1991).
13. B. Arfi, Phys. Rev. B **45**, 2352 (1992).
14. J. Ruvalds and A. Virosztek, Phys. Rev. B **43**, 5498 (1991).
15. N. Plakida, Z. Phys. B **103**, 383 (1997).
16. R. B. Laughlin, J. Low Temp. Phys. **99**, 443 (1995).
17. P. Bourges, in *The Gap Symmetry and Fluctuations in High Temperature Superconductors*, ed. by J. Bok et al., Plenum Press (1998), p. 349.
18. F. Marsiglio, J. P. Carbotte, A. Puchkov, and T. Timusk, Phys. Rev. B **53**, 9433 (1996).
19. J. P. Carbotte, E. Schachinger, and D. N. Basov, Nature **401**, 354 (1999); E. Schachinger and J. P. Carbotte, Phys. Rev. B **62**, 9054 (2000).
20. A. F. Barabanov, L. A. Maksimov, and A. V. Mikhayenkov, in *Lectures on the Physics of Highly Correlated Electron Systems IV*, ed. by F. Mancini, AIP Conf. Proc., Vol. 527, Melville, New York (2000).
21. V. Borisenko, M. S. Golden, S. Legner et al., Phys. Rev. Lett. **84**, 4453 (2000).
22. A. G. Loeser, Z. X. Shen, D. S. Dessau et al., Science **273**, 325 (1996).
23. M. R. Norman, H. Ding, M. Randeria et al., Nature **392**, 157 (1998).
24. W. Götze and P. Wölfle, Phys. Rev. B **6**, 1226 (1972).
25. V. G. Grigoryan, G. Paasch, and S.-L. Drechsler, Phys. Rev. B **60**, 1340 (1999).
26. A. F. Барабанов, Р. Хайн, А. А. Ковалев, О. В. Уразаев, А. М. Белемук, ЖЭТФ **119**, 777 (2001).
27. P. Prelovsek, Phys. Lett. A **126**, 287 (1988).
28. A. Ramsak and P. Prelovsek, Phys. Rev. B **40**, 2239 (1989); **42**, 10415 (1990).
29. A. F. Barabanov, A. A. Kovalev, O. V. Urazaev, A. M. Belemouk, Phys. Lett. A **265**, 221 (2000).
30. А. Ф. Барабанов, Е. Жасинас, О. В. Уразаев, Л. А. Максимов, Письма в ЖЭТФ **66**, 173 (1997).
31. А. Ф. Барабанов, О. В. Уразаев, А. А. Ковалев, Л. А. Максимов, Письма в ЖЭТФ **68**, 386 (1998); А. Ф. Барабанов, О. В. Уразаев, А. А. Ковалев, Л. А. Максимов, ДАН **366** (2), 188 (1999).
32. R. O. Kuzian, R. Hayn, A. F. Barabanov, and L. A. Maksimov, Phys. Rev. B **58**, 6194 (1998).
33. M. Inui, S. Doniach, and M. Gabay, Phys. Rev. B **38**, 6631 (1988).
34. J. F. Annet, R. M. Martin, A. K. McMahan, and S. Satpathy, Phys. Rev. B **40**, 2620 (1989).
35. A. F. Barabanov and V. M. Berezhovsky, Phys. Lett. A **186**, 175 (1994); ЖЭТФ **106**, 1156 (1994).
36. Е. Г. Максимов, УФН **40**, 353 (1997).
37. Д. Н. Зубарев, УФН **71**, 71 (1960).
38. N. Nucker, U. Eckern, J. Fink, and P. Muller, Phys. Rev. B **44**, 7155 (1991).
39. Y.-Y. Wang, G. Feng, and A. L. Ritter, Phys. Rev. B **42**, 420 (1990).
40. Ю. А. Церковников, ТМФ **49**, 219 (1981).